

杭打ち込み試験結果データベースを用いた 杭の支持力要因に関する統計解析

岐阜大学工学部 学生員 ○岡崎基史
岐阜大学工学部 正会員 本城勇介
岐阜大学工学部 正会員 小尻利治

1 はじめに

現場での杭の支持力は、大別して、静的な載荷試験による推定と、動的な打ち込み試験による推定の2種類に分かれる。前者は、正確な推定が行えるが、経済性に問題がある。後者は、静的な支持力推定値と著しく値が異なっている等、信頼性に問題がある。しかし、動的推定法は、経済的に有利であることから、種々の問題点を解決することにより、正確な値が得られる推定法が求められている。

2 研究概要

Paikousky(1994)は、動的打ち込み杭の支持力を、その打撃時の測定結果から推定する方法を研究するため、これらの測定結果のデータベースを構築した。このデータベースは2つの部分からなり、ひとつはPD/LTと呼ばれるもので、打撃時の加速度記録と、後におこなわれた、静的載荷試験結果の両方を含むデータベースである。もうひとつはPDと呼ばれるもので、杭の打撃時の加速度記録のみを含むデータベースである。彼は、一応統計解析を行い從来から用いられてきた方法(波動理論、エネルギー平衡法等)に比べ、彼の提案しているエネルギー法の方がかなり正確に、支持力を予測することを示している。しかし、杭の支持力には、地盤状態や杭種、打ち込み時期の違い等の様々な因子があり、それらを統計的に解析することにより、より正確な支持力の予測が行える可能性がある。本研究では、このような予測式を統計的の解析により求める。

3 研究方法

3. 1 エネルギー法による定式化

杭に転嫁されたエネルギー E_n は、次のようになる：

$$E_n = \int V(t)F(t)dt$$

$V(t)$ ：杭頭の貫入速度
 $F(t)$ ：杭が受ける応力

又、リバウンド量 Q は、

$$Q = D_{\max} - S$$

D_{\max} ：最大貫入量
 S ：貫入量

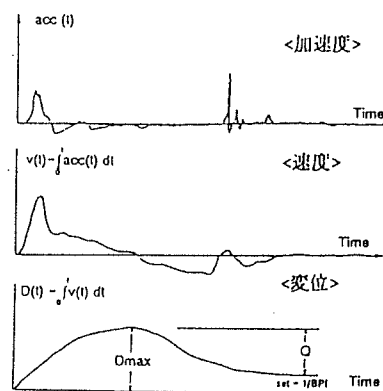
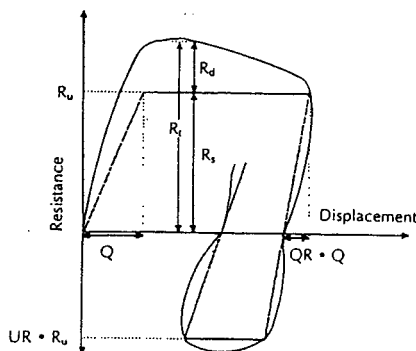


図-1 杭頭の貫入加速度、速度 及び変位

E_n と Q を 図-2 に示す、エネルギー平衡式に代入することにより 動的支持力 R_u は、

$$R_u = \frac{E_n}{S - \frac{(D_{\max} - S)}{2}}$$

となる。



$$\text{エネルギー平衡式 } E = R * (S - Q / 2)$$

図-2 杭頭での変位と抵抗力の関係

3.2 静的支持力 R_s

式(3)の支持力式に、補正係数 K_{sp} をかけることにより、静的支持力(測定値)と、相関を持たせることができると。

$$R_s = K_{sp} * R_u$$

K_{sp} ; エネルギー損失を示す係数

表-1 K_{sp} と K_{sw} の回帰分析例

Pile Case	C A P W A P / T E P W A P		E N E R G Y Regression 系数	M E T H O D Regression 系数
	回帰係数	相間係数		
A A A	1.265	0.692	1.367	0.703
A A S	1.272	0.749	1.385	0.831
A A C	1.319	0.383	1.443	0.872
A A R	0.908	0.58	0.906	0.823
A E A	1.248	0.74	1.478	0.9
A B A	1.284	0.614	1.268	0.786
L A A	1.372	0.554	1.399	0.832
L A S	1.366	0.595	1.366	0.816
L A C	1.391	0.393	1.501	0.882
L E A	1.529	0.528	1.574	0.966
L B A	1.307	0.596	1.272	0.78
S A A	1.108	0.932	1.25	0.856
S A S	1.142	0.952	1.486	0.863
S A C	1.021	0.653	1.132	0.804
S A R	0.908	0.376	0.906	0.829
S F A	1.113	0.933	1.252	0.851
S B A	1.069	0.785	1.247	0.902

K_{sw} =static load test results/CAPWAP or TEPWAP predictions

Pile-case legend: XXX

-first letter denotes pile type: A=all piles, L=large displacement, & S=small displacement.
-second letter denotes time of measurement:
A=anytime, E=end of driving,, & B=begining of restrick.
- third letter denotes soil type: A=all soils,
S=sand and silt, C=clay and till, & R=rock

3.3 (4)式の改良

K_{sp} の要因には、杭や土の種類の違いや、打ち込みによる抵抗力がある。そこで、それらの要因に、ハンマーの打ち込み方法や、打ち込み回数、杭の面積比等の指標を加えた PD/LTデータを用い、ケースごとに回帰分析を行い、それらの要因がどの程度支持力に影響を与えているか調べる。

3.4 統計解析

1 重回帰分析

観測値と推定されるパラメータとの関係を表す回帰式は次式で表される。

$$y = X\beta + \epsilon$$

y ; K_{sp} ベクトル

X ; 観測行列 (各支持力要因)

β ; 推定されるパラメーター

ϵ ; 誤差ベクトル

回帰式の定式化の仮定において、相関係数、t-統計量の分析に加えて、残差分析により主だったモデルの違背を検出する作業を行う。又、分散不均一性や、条件の違いによるデータ量の格差などの問題も、変数変換や加重最小二乗法等により処理をする。

2 モデルの選択

考え得るいくつかのモデルの良さを評価・比較する基準として、AIC(赤池情報量基準)を使用し、情報量に応じたモデルの選択を行う。

$$A I C = -2(\text{最大対数尤度}) + 2(\text{パラメータ数})$$

又、従来のモデル選択法であるF-検定と、AICとの比較も行う。

4 おわりに

計算結果は、講演時にゆずる。

参考文献

1) Paikousky, S.G. et al : A simple field method for capacity evaluation of driven piles (1994)

2) S.Chatterjee and B.Price : 回帰分析の実際、新曜社 (1980)

3) 本城勇介：講座、地盤工学における逆解析、土と基礎、vol.43, No.12, pp.51-56, (1995)